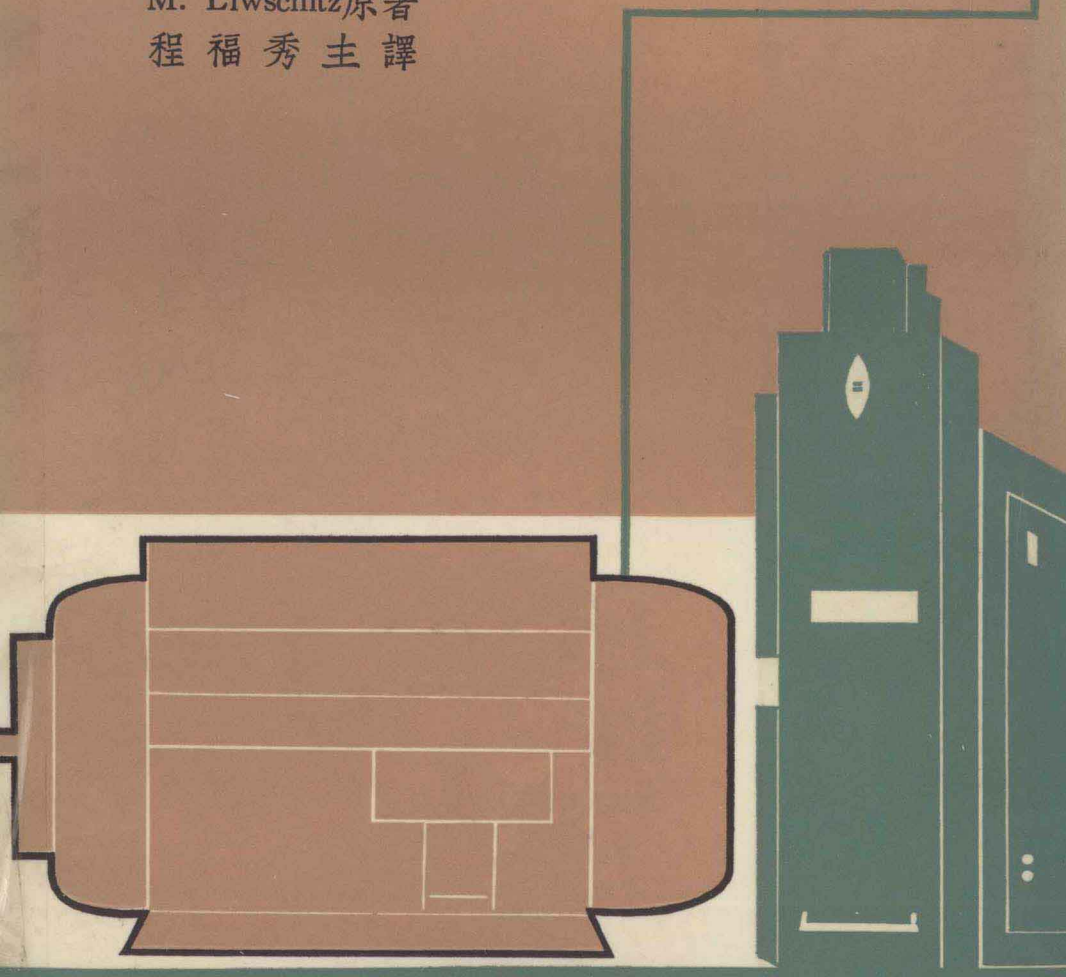


# 電機設計

M. Liwschitz 原著

程福秀主譯



# 電 機 設 計

德・M. Liwschitz 原著

主 譯

程 福 秀

譯 者

湯 肇 善 劉 宗 富

黃 齊 嵩 耿 毅 會 卓 商

香 港 電 工 社 出 版

## 內 容 提 要

本書專講電機之設計及計算要點。

在前四章首先對各種電機設計之共同問題作綜合詳細討論，並用實例說明計算方法。

在最後六章中對各種電機設計的觀點作了深入的分析，例題完整，並供給許多實際設計需要的經驗數值。

對特殊電機的設計，亦應有盡有，故可稱為一本最完善的電機設計資料。

## 電 機 設 計

---

原著者	德	· M. Liwschitz
主譯者	程	福秀
出版者	香	港電工社
		香港郵政信箱五七七一號
發行者	文	淵書店
		九龍律晴街六十四號二樓
印刷者	大	華印刷所
		九龍律晴街70—72號

---

定 價 港 幣

一九七二

## 著 者 序

本書爲拙編電機學之最後一卷（第三冊），本書之目的亦和其他兩冊一樣，供給研究者及工程師參考之用。第一冊敘述研究電機理論時所必需之基本原理。第二冊介紹設計時應知之構造及絕緣概念。本書則專講電機設計及計算之要點。

本書前四章詳細討論電機內一般之磁路、漏磁、損失及溫升現象。其中之計算方法皆係引用最新之研究結果及各種著名之科學著作，遇有較難之計算時，則以實例說明之。第五章討論感應電機之圓圖。後六章分別敘述各類電機及變壓器，爲照顧前四章的總論，故此處敘述較短，其內容專門分析設計時計算及估計尺寸之要點，並對實際例題之計算過程加以詳細說明。仿照第一冊分類法，本書講過變壓器後，接着講引用變壓器定律而工作的電機，即感應電機與同步電機，然後再講直流電機、旋轉換流機及交流整流式電機。交流整流式電機的實例計算有：單相電車電動機、三相串激電動機、三相分激電動機、自激三相激磁機及轉子饋電他激三相激磁機。

基於今日知識範圍及電機工程學之進展，編著電機學教本應選下列兩種方式；一爲多冊詳細的著作，對各部門皆作逐一之討論；另一種則較簡短，其內容僅包含必要部份，而對某些部份則引註專家著述與特別論文。爲方便起見，本冊採用後面一種方法。在參考文獻目錄中將最重要的著作及發表文件一併彙集，附於書後以備讀者參考補充之用。

M. Liwschitz.

## 本書採用符號表

$A$ =電流負荷。  $A_a$ =電樞電流負荷。  $A_\mu$ =磁化電流之電流負荷。

$A_g$ =單樞換流機之直流電流負荷。  $A_u$ =決定換向電壓的單樞變流機之電流負荷。

$A$ =振幅。  $A$ =激磁繞組的磁通勢曲線之基本波振幅。  $A_i$ =有效電樞縱向磁通勢之振幅。  $A_q$ =有效電樞橫向磁通勢之振幅。

$A$ =機械功。

$A$ =計算交流電阻之因數。

$A$ =積分常數。

$a$ =並聯電樞支路之半數。

$a$ =盤形線捲軸向長度，筒形線捲幅向長度。

$a$ =距離。  $a_{km}$ =磁極間之平均距離。  $a_p$ =極靴間之平均距離。

$a$ =槽伸出距離。

$B$ =磁通密度(振幅)。  $B_i$ =空氣隙中之磁通密度。  $B_j$ =軋中之磁通密度。  $B_s$ =齒中之磁通密度。  $B_{sf}$ =齒根處之磁通密度。  $B_{zm}$ =齒腰之磁通密度。  $B_{zk}$ =齒端之磁通密度。  $B_k$ =極心之磁通密度。  $B_q$ =槽橫向磁場之磁通密度。  $B'_s$ =齒視在磁通密度。  $B_a$ =磁通密度振動之振幅。  $B_p$ =齒內之脈振振幅。  $B_w$ =換向區之合成磁通密度。  $B_m$ =正弦形分佈磁通密度，在半個槽距上之平均值。  $B_v=v$  次諧波之振幅。

$B$ =計算交流電阻之因數。

$B$ =積分常數。

$B, b$ =寬度。  $b_t$ =有效極寬。  $b_p$ =極弧。  $b_{ps}$ =極靴寬度。  $b_w$ =換向極寬。  $b_{ws}$ =有效換向極寬。  $b_{ws2}$ =合成換向區之寬度。  $b_n$ =槽寬。  $b_s$ =冷却槽寬。  $b$ =冷却槽內磁力線所佔之等值鐵心寬度。

$b'_s = b_s - b$  = 因冷却槽使鐵心損失之鐵心長度。  $b_b$  = 電刷寬度。  $b'_b$  = 換算到電樞周邊上之電刷寬度。  $b_k$  = 極心寬度。  $b_z$  = 齒寬。  $b_{sl}$  = 齒根處之寬度。  $b_{zm}$  = 齒腰平均寬度。  $b_{ek}$  = 齒端之寬度。  $b_k'$  = 絶緣的線捲端寬。

$b$  = 絶緣鞘出槽之距離。

$b$  = 磁化電流大小之衡度標準。

$B$  = 窗寬。

$C$  = 利用因數。

$C$  = 斷面積常數。

$C, c$  = 常數，積分常數。

$C$  = 負載時計算表面損失之常數。

$c_p$  = 負載時計算表面損失之常數。

$c_k$  = 計算整流子發熱之常數。

$c_t, c_q$  = 計算有效電樞磁通勢之因數。

$c$  = 並聯繞組支路數。

$c$  = 比熱。

$D$  = 電樞直徑，定子腔直徑。  $D_e$  = 外輻直徑。  $D_t$  = 轉子為電樞之內直徑。  $D_k$  = 整流子直徑。

$d$  = 各單一線捲端間之空氣距離。

$E, e$  = 電勢。  $E_t$  = 縱向合成磁場之感應電勢。  $E_q$  = 橫向合成磁場之感應電勢。

$E_{q0} = \cos \psi$  等於 1 時橫向磁場之感應電勢。  $E_A$  = 三刷聯接法電勢。

$E_\phi$  = 六刷聯接法電勢。  $E_{ar}$  = 由於主磁通的旋轉在電樞繞組中產生之電勢。  $E_{et}$  = 由於變壓作用主磁通在激磁繞組內產生之電勢。  $E_{sol}$  = 每窗柱之感應電勢。  $E_r$  = 每窗柱之歐姆壓降。

$E_s$  = 每窗柱之漏破壓降。  $E_s$  = 每導條之電勢。  $e_b$  = 電流換向電壓。  $e_{su}$  = 單樞變流機之電流換向電壓。  $e_w$  = 在短路線捲內由換向極磁場所感應之電勢。  $e_t$  = 在短路線捲內，由變壓器作用所

感應之電勢。

$e$ =自然對數之底。

$F$ =面積。  $F_b$ =電刷之承壓面積。

$F$ =計算附加電阻時顧及有限整流時間之因數。

$f$ =線捲斷面積。

$f$ =頻率。

$f_k$ =銅填充因數。

$f_B$ =電勢之波形因數。

$j_H$ =反效應因數。

$G$ =重量。  $G_{pe}$ =變壓器之鐵重量。  $G_k$ =變壓器之銅重量。  $G_{cu}$ =銅重量。  $G_z$ =齒重量。  $G_s$ =軛重量。  $G_a$ =電樞繞組之銅重量。

$G_e$ =激磁繞組之銅重量。  $G_w$ =換向極繞組之銅重量。

$g$ =重力加速度。

$g$ =計算槽電感之因數。

$g$ =優良度。

$g$ =鐵損失之衡度標準。

$H, h$ =磁場強度，磁壓。  $H_k$ =極心磁壓。  $H_s$ =軛磁壓。  $H_z$ =齒磁壓。  $H_{zm}$ =齒平均磁壓。

$\vec{H}$ =磁場強度向量。  $\vec{H}_t = dl$  方向  $\vec{H}$  之分量。  $\vec{H}_s = l_s$  方向  $\vec{H}$  之分量。

$H, h$ =高度。  $h$ =導線之高度。  $h'_k$ =極心高度。  $h_n$ =槽高。  $h_1, h_2, h_3, h_4$ =槽各部份之高度。  $h_{kr}$ =導線臨界高度。  $h_w$ =激磁繞組之繞高。  $h_p$ =極靴高度。  $h_f$ =幅向軛高。

$H$ =變壓器鐵心高度。

$h$ =散熱係數。  $h_b$ =整流子散熱係數。  $h_{k油}$ =向油內之散熱係數。

$h_{k空氣}$ =向空氣之散熱係數。  $h_s$ =幅向冷卻疊片組向空氣之散熱係數。  $h_1$ =線捲端向空氣之散熱係數。  $h_2$ =冷卻槽中繞組向空氣之散熱係數。  $h_o$ =輻射散熱係數。

$J, i$ =電流。  $J_a$ =電樞電流。  $J_b$ =電刷電流。  $J_B$ =電刷栓桿電流。

$J_e$ =激磁繞組中之電流。  $J_y$ =單樞變流機之直流電流。  $J_t$ =單樞變流機內部總交流電流。  $J_s$ =短路電流。  $J_{kt}$ =理想短路電流。  $J_n$ =額定電流。  $J_0$ =無載電流。  $J_{0m}$ =有效無載電流。  $J_w$ =換向極電流。  $J_i$ =標記之導線層電流。  $J_u$ =下層導體中之電流。  $J_\mu$ =磁化電流。  $J_{\mu k}$ =調相時之磁化電流。  $J_{\mu s}$ =由定子供給之磁化電流。  $J_{\mu a}$ =由電樞供給之磁化電流。  $J_1$ =原級繞組中之電流。  $J_2$ =副級繞組中之電流。  $J_{2k}$ =在調相時副級之電流。

$j=\sqrt{-1}$ =虛單位。

$K, k$ =因數。  $k_o$ =Carter 因數。  $k_e = \frac{\text{鐵心臂長}}{\text{無通風溝之鐵心長度}}$ 。  $k_s$ =飽和因數。  $k_z = \frac{\text{空氣隙斷面}}{\text{齒鐵心斷面}}$ 。  $k_0$ =計算表面損失之因數。  $k_{wz}$ =計算齒內渦流損失之因數。  $k_{Hj}$ =磁滯因數。  $k_{Wj}$ =渦流因數。  $k_{ou}, k_{Ku}$ =計算漏磁之校正因數。

$K$ =交流電阻與直流電阻之比率。  $K_\infty$ =短路時間無限小時之比率。

$k=K-1$ =附加電阻係數。  $k_{sp}$ =錄捲端電阻之附加係數。

$k$ =整流子之整流片數。

$k$ =熱導係數。  $k_s$ =單位熱導係數。  $k_q$ =鐵片之橫熱導係數。  $k_L$ =鐵片之縱熱導係數。

$L, l$ =長度。  $L$ =連同冷卻槽之疊片組總長度。  $L_1$ =錄捲端總長度。

$L_k$ =極心長度。  $L_p$ =極靴長度。  $l$ =不計冷卻槽而帶絕緣層之疊片組總長。  $l'$ =單一疊片組長度。  $l_e$ =有效電樞長度。  $l_n$ =可用整流子長度。  $l_{wt}$ =有效換向極長度。  $l_i$ =導線平均長度。  $l_k$ =變壓器原副級繞組之平均錄圈長度。  $l_{Fe}$ =變壓器鐵心與軛之總長。  $l_n$ =計算槽漏磁之有效鐵長。  $l_x$ =路徑段長。  $l_k$ =沿極心之積分路徑。  $l_s$ =沿齒之積分路徑。  $l_j$ =沿軛之積分路徑。  $l_b$ =電刷長度。

$L$ =電感。  $L_1$ =原級電路之電感。  $L_2$ =副級電路之電感。  $L_{11}, L_{22}$ =

自感量。  $L_{12}, L_{21}$  = 互感量。  $L_n$  = 槽之合成電感。  $L_s, L_{1s}, L_{2s}$  = 漏磁電感。

$M$  = 互感量。

$M$  = 轉矩。  $M_b$  = 加速轉矩。  $M_g$  = 抵抗轉矩。  $M_k$  = 崩潰轉矩。

$m$  = 相數。

$m$  = 疊放之導線數。

$m$  = 長度標準。

$N$  = 功率。  $N_e$  = 電功率。  $N_n$  = 額定功率。  $N_s$  = 視在功率。  $N_s$  = 同步轉速時之功率。  $N_i$  = 內功率。  $N_{st}$  = 小時功率。  $N_a$  = 轉場功率(空氣隙功率)。  $N_m$  = 機械功率。  $N_{m\max}$  = 從軸上輸出之最大功率。  $N_k$  = 磁流子功率。  $N_T$  = 中間變壓器之功率。

$N$  = 槽數。

$n$  = 轉數。  $n_s$  = 同步轉數。  $n_n$  = 額定轉數。  $n_{\max}$  = 最大轉數。

$n$  = 部分導線互相重疊之數。

$n_s$  = 冷却槽數。  $n_{ss}$  = 定子之冷却槽數。  $n_{st}$  = 轉子之冷却槽數。

$O$  = 表面積。

$P$  = 力。  $P_s$  = 拉力。

$p$  = 極對數。  $p_v$  = 與  $v$  次諧波相對應之極對數。

$p$  = 壓力。  $p_b$  = 電刷之單位面積承受壓力。

$Q$  = 單位時間內產生之熱量。

$Q_{空氣}$  = 空氣量。

$Q$  = 每極之槽數。

$q$  = 每相每極之槽數。

$q$  = 斷面積。  $q_1$  = 每極之設想空氣隙面積。  $q_2$  = 齒斷面積。  $q_3$  = 軋斷面積。  $q_{pe}$  = 變壓器之鐵心斷面積。

$R, r$  = 電阻。  $r_1$  = 原級電阻。  $r_2$  = 副級電阻。  $r_2$  = 向原級換算之副級電阻。  $r_t$  = 向原級換算之合成電阻。  $r_e$  = 激磁繞組之電阻。

$r_r$  = 短接環電阻。  $r_s$  = 導條電阻。

$$r = \frac{b_{Cu}}{b_n} \cdot \frac{s'}{s}$$

$s$ =電流密度。  $s_a$ =電樞繞組內之電流密度。  $s_\theta$ =激磁繞組內之電流密度。  $s_k$ =補償繞組內之電流密度。  $s_b$ =電刷電流密度。

$s_h$ =顧及槽主磁場所引起之渦流，在導線中之等效電流密度。

$s$ =部分導線之高度。  $s'$ =絕緣部分導線之高度。

$s$ =線捲寬度。  $s'$ =從槽中心度量之線捲寬度。

$s$ =比重。

$s_n$ =槽口寬度，在開口槽時  $s_n = b_n$ 。  $s' = \sigma s_n$ =等效槽口寬度。

$T$ =週期。  $T_k$ =短路時間。

$T$ =絕對溫度。  $T_0$ =四溫絕對溫度。

$T$ =等效槽深。

$T_1, T_2$ =時間常數。

$t$ =時間。

$t$ =極對數與槽數之最大公因子。

$U, u$ =端電壓。  $U_g$ =單樞變流機之直流電壓。  $U_k$ =變壓器之短路電壓。

$u$ =同槽並排之線捲邊數。

$u$ =線捲之周邊長。

$ii$ =過載度。

$ii$ =變壓比率。  $ii_\phi$ =六刷聯接法變壓比。  $ii_\Delta$ =三刷聯接法變壓比。

$V$ =磁壓。  $V_i$ =主磁極中心之空氣隙磁壓。  $V_z$ =齒磁壓。  $V_j$ =軋磁壓。  $V_k$ =極心磁壓。  $V_s$ =兩相鄰極靴間空氣距離之磁壓。

$V_m$ =正弦形磁通勢曲線卷振幅。

$V$ =損失。  $V_{bR}$ =電刷摩擦損失。  $V_{ba}$ =電刷接觸損失。  $V_{cu}$ =銅損失。  $V_{fe}$ =鐵損失。  $V'_{fe}$ =每疊片組之鐵損失。  $V_{fan}$ =單相串激電動機靜止時之電樞鐵損失。  $V_{fan}$ =轉數為  $n$  時單相串激電動機之電樞鐵損失。  $V_n$ =磁滯損失。  $V_o$ =表面

$V_m$ =平均表面損失。 $V_2$ =負載時轉子之表面損失。 $V_v$ = $v$ 次諧波所引起之表面損失。 $V_w$ =渦流損失。

$v$ =單位損失。 $v_{10}$ =鐵片單位重量損失。

$v$ =速度。 $v_a$ =電樞周邊速度。 $v_{as}$ =同步轉速時之電樞周邊速度。

$v_{an}$ =額定轉速時之電樞周邊速度。 $v_k$ =整流子周邊速度。 $v_p$ ,  
 $=v$ 次諧波與轉子間之相對速度。

$W$ =熱量。 $w$ =熱導體表面單位面積之散熱量。

$W_m$ =磁能。

$w$ =每相之串聯圈數。 $w_s$ =定子每相之串聯圈數。 $w_1$ =原級每相  
之串聯圈數。 $w_2$ =副級每相之串聯圈數。 $w_e$ =每對磁極之激  
磁繞組圈數。

$x$ =漏磁電抗。 $x_1$ =原級漏磁電抗。 $x_2$ =副級漏磁電抗。 $x_t$ =合成  
漏磁電抗。 $x_n$ =槽漏磁電抗。 $x_k$ =齒端漏磁電抗。 $x_s$ =機端面  
漏磁電抗。 $x_a$ =啓動籠漏磁電抗。 $x_r$ =轉動籠漏磁電抗。 $x_{ai}$ =  
互感漏磁電抗。

$x$ =計算脈振損失之因數。

$y$ =合成繞組節距(步距)。 $y_1$ =前節距(線捲距)。 $y_2$ =後節距(聯  
接步距)。

$\vec{y} = y + jb$ =電導。

$Z$ =鼠籠式轉子之導線數(槽數)。

$Z$ =線圈寬度所含之齒數。

$z$ =導線數。 $z_k$ =整流子繞組之導線數。 $z_n$ =每槽導線數。 $z_e$ =  
電樞上總導線數。 $z_B$ =刷栓桿數。

$z$ =阻抗。

$a$ =相角。

$\alpha$ =溫度係數。

$$\alpha_4 = \frac{b_4}{\tau_p},$$

$$\beta = \frac{B_0}{B_{\max}}.$$

$$\beta = \frac{b_b}{\tau_k}.$$

$\gamma$ =相角。

$\gamma$ =比重。

$\gamma$ =每相單錄捲數。

$\Delta$ =鐵片厚度。

$\delta$ =空氣隙寬度。  $\delta_{\text{中心}}$ =極中心處之空氣隙寬度。  $\delta_w$ =換向極下空氣隙寬度。  $\delta'$ =等效空氣隙寬度。

$\delta$ =絕緣層厚度。

$\varepsilon$ =整流片間電壓。  $\varepsilon_{\text{平均}}$ =平均整流片間電壓。  $\varepsilon_{\max}$ =最大整流片間電壓。

$\zeta$ =繞組因數。  $\zeta_v$ = $v$ 次諧波之繞組因數。  $\zeta_s$ =地域因數。  $\zeta_o$ =弦因數。

$\eta$ =效率。

$\eta$ =縱坐標。  $\eta_m$ =圓心之縱坐標。

$\eta$ =鐵片之材料常數。

$\Theta$ =磁通勢。  $\Theta_a$ =電樞磁通勢(振幅)。  $\Theta_{\text{環路}}$ =磁環路之合成磁通勢(每對磁極)。  $\Theta_w$ =每對換向極之磁通勢。  $\Theta_{al}$ =電樞縱向磁通勢。  $\Theta_{aq}$ =電樞橫向磁通勢。

$\vartheta$ =溫升。

$A$ =磁導。  $A_n$ =槽漏磁磁導。  $A_k$ =齒端漏磁磁導。  $A_e$ =機端面漏磁磁導。  $A_p$ =極靴間漏磁磁導。  $A_{ek}$ =極心間漏磁磁導。

$\lambda$ =單位磁導(每單位長)。  $\lambda_n$ =槽中理想單位磁導。  $\lambda_{ng}$ =直流理想單位磁導。  $\lambda_{nw}$ =交流理想單位磁導。  $\lambda_k$ =齒端漏磁之單位磁導。  
 $\lambda_d$ =雙鏈漏磁之理想單位磁導。

$\lambda = \frac{l_i}{\tau_p}$ =理想樞長與極距之比值。

$\lambda = \frac{l}{l_1}$  = 鐵心長度與導線平均長度之比值。

$\mu$  = 相對磁導係數。

$\mu_v$  = 電刷種類之摩擦係數。

$\nu$  = 相對輻射係數。

$\nu$  = 諧波之次數。

$\xi$  = 等效鐵片厚度，等效導線高度。  $\xi_{kr}$  = 等效導線臨界高度。

$\xi$  = Hobart 電感因數。

$\xi$  = 橫坐標。  $\xi_m$  = 圓心之橫坐標。

$\rho$  = 電阻係數(比電阻)。

$\rho$  = 在確定排端面漏磁時顧及短路環尺寸之因數。

$\sigma$  = 計算直流電機電樞繞組中附加損失之比例因數。

$\sigma$  = 計算變壓器油箱尺寸之比例因數。

$\sigma$  = 轉差率。  $\sigma_K$  = 崩潰轉差率。

$\sigma$  = 純黑物體之輻射係數。

$\sigma_B$  = Blondel 漏磁因數。

$\sigma_{st}$  = 磁滯損失因數。

$\sigma_{fr}$  = 渦流損失因數。

$\tau$  = Heyland 漏磁因數。  $\tau_1$  = 原級漏磁因數。  $\tau_2$  = 副級漏磁因數。

$\tau_k$  = 整流週邊上之整流片距。

$\tau_n$  = 槽距。

$\tau_p$  = 極距。  $\tau'_p$  = 從槽高中心度量之極距。

$\Phi$  = 磁通。  $\Phi_c$  = 極心內之磁通。  $\Phi_w$  = 換向極上之磁通。  $\Phi_s$  = 漏

磁通。  $\Phi_g$  = 共同產生之磁通。  $\Phi_{g1}$  = 原級部份之磁通。  $\Phi_{g2}$  = 副級部份之磁通。

$\varphi$  = 角度。

$X$  = 計算附加損失之因數。

$\Psi$  = 線捲磁通。

$\psi$ =計算變壓器溫升之因數。

$\psi$ =計算雙層繞組之銅附加損失之因數。

$\psi$ =電流與縱向電勢間之相角。

$w=2\pi f$ =角速度。

# 目 錄

本書採用符號表 ..... 1-10

## 第一 章 磁 路

1-1. 磁通勢定律	1
1-2. 部份磁壓	2
(a) 空氣隙磁壓	2
(b) 齒磁壓	12
(c) 輓磁壓	14
(d) 極磁壓	15
1-3. 無載時之激磁通勢。無載特性曲線	16
(a) 感應電機	16
(b) 隱極同步電機	19
(c) 顯極同步電機	22
(d) 直流電機	26
1-4. 負載時之激磁通勢(電樞反應)	28
(a) 感應電機	28
(b) 隱極同步電機	31
(c) 顯極同步電機	32
(d) 直流電機	38
1-5. 磁場曲線之決定	39
(a) 顯極電機	39
(b) 隱極電機	40

## 第二章 漏 磁

<b>2-1. 漏磁概念.....</b>	<b>44</b>
<b>2-2. 漏磁定義.....</b>	<b>45</b>
(a) 以電感說明漏磁的定義 .....	45
(b) 以磁能說明漏磁的定義 .....	47
(c) 以磁力線圖說明漏磁的定義 .....	47
<b>2-3. 漏磁定義在變壓器和電機方面之應用.....</b>	<b>48</b>
<b>2-4. 電機漏磁之計算.....</b>	<b>51</b>
(a) 槽漏磁 單層繞組 .....	52
(b) 雙鏈漏磁 (諧波磁場漏磁).....	60
(c) 齒端漏磁 .....	65
(d) 錄捲端漏磁 .....	66
(e) 總漏磁電抗 .....	71
<b>2-5. 變壓器漏磁之計算.....</b>	<b>72</b>
(a) 盤形繞組 .....	72
(b) 筒形繞組 .....	74

## 第三章 損 失

### 3-A. 鐵損失

<b>3-A 1. 無載鐵損失.....</b>	<b>76</b>
(a) 鐵片損失 .....	76
(b) 電機齒損失 .....	79
(c) 電機軋損失 .....	80

(d) 表面損失 .....	82
(e) 齒脈振損失 .....	85
(f) 橢圓形旋轉磁場中之損失 .....	88
(g) 加工對鐵損失之影響 .....	88
<b>3-A2. 負載時之附加鐵損失 .....</b>	<b>89</b>
(a) 表面損失 .....	89
(b) 機端空間損失 .....	95

### 3-B. 摩擦損失

<b>3-B 1. 空氣摩擦損失及軸承摩擦損失 .....</b>	<b>98</b>
<b>3-B 2. 電刷摩擦損失 .....</b>	<b>100</b>

### 3-C. 銅損失

<b>3-C 1. 電阻損失 .....</b>	<b>100</b>
<b>3-C 2. 電刷接觸損失 .....</b>	<b>101</b>
<b>3-C 3. 附加銅損失 .....</b>	<b>102</b>
(a) 槽橫向磁場在交流繞組中所生之損失 (擠流損失) .....	102
(b) 槽橫向磁場在直流電樞繞組中所引起之損失 .....	110
(c) 由槽主磁場所引起之損失 .....	112
(d) 變壓器繞組中之附加損失 .....	113
(e) 整流子附加損失 .....	115
<b>3-C 4. 測量所得之總附加損失之大小 .....</b>	<b>115</b>

## 第四章 溫升

<b>4-1. 基本概念 .....</b>	<b>117</b>
------------------------	------------